

УДК 624.07:534.1

© 2000 г. В.В. БОЛОТИН, В.П. РАДИН, В.П. ЧИРКОВ

ДИНАМИКА КОНСТРУКЦИЙ ПРИ МНОГОКОМПОНЕНТНЫХ СЕЙСМИЧЕСКИХ ВОЗДЕЙСТВИЯХ

Рассмотрено поведение конструкций при движении основания или фундамента, вызванном сейсмическим воздействием. Принято, что это движение задано в виде реализаций некоторого нестационарного случайного процесса, который в общем случае содержит шесть компонент – три составляющих линейного ускорения и три составляющих углового ускорения. Применительно к многоэтажному зданию с несущей каркасной конструкцией использована сдвиговая модель, обобщенная на случай пространственных деформаций. Рассмотрен случай изгибно-крутильных колебаний здания. Изучено влияние направления сейсмического воздействия по отношению к главным осям жесткости конструкции на максимальные перемещения и междуетажные сдвиги. Показано, что рассогласование осей жесткости и инерции существенно влияет на динамическую реакцию и уровень остаточных по-вреждений конструкции. Дано качественное истолкование полученных результатов.

1. Представление движения фундамента или основания на площадке, где размещено сооружение, в виде реализаций нестационарного случайного процесса было впервые предложено в [1]. При этом ускорение на площадке моделируется как реализации некоторого стационарного гауссовского процесса, модулированные при помощи псевдоогибающих – медленно меняющихся функций времени. В общем случае движение основания на площадке является многокомпонентным. Для компактных в плане сооружений можно пренебречь волновым характером движения [2, 3]. Тогда сейсмическое воздействие будет задано тремя составляющими $a_x(t)$, $a_y(t)$, $a_z(t)$ линейного ускорения и тремя составляющими $\varepsilon_x(t)$, $\varepsilon_y(t)$, $\varepsilon_z(t)$ углового ускорения (фиг. 1, а). В зависимости от типа сооружения, его высоты и т.п. влияние части из этих шести компонент можно считать достаточно малым. Например, для зданий умеренной высоты можно пренебречь угловыми перемещениями основания; однако для сооружений, высота которых измеряется сотнями метров, малые вращения основания могут оказаться существенное влияние. Для протяженных сооружений (мостов сверхбольших пролетов, тоннелей, магистральных трубопроводов) необходимо учитывать пространственно-временной характер движения грунта, особенно если длины сейсмических волн по порядку величины сопоставимы с характерным размером основных форм собственных колебаний.

Применительно к зданиям наиболее важными являются горизонтальные компоненты ускорения. Обычно несущие конструкции здания обладают симметрией, что позволяет выделить главные плоскости жесткости. Рассмотрим подробнее именно этот случай. Пусть Oxz и Oyz – плоскости симметрии несущей конструкции. Ускорения фундамента здания в этих направлениях обозначим $a_x(t)$ и $a_y(t)$, выражения для которых, следуя изложенной схеме, представим в виде

$$a_x(t) = A_x(t/t_0) \exp(-t/t_0) \varphi_x(t), \quad a_y(t) = A_y(t/t_0) \exp(-t/t_0) \varphi_y(t) \quad (1.1)$$

с двумя псевдоамплитудами A_x и A_y и двумя стационарными случайными функциями $\Phi_x(t)$ и $\Phi_y(t)$. Спектральный состав воздействия задается спектральной плотностью этих функций

$$S_\phi(f) = \frac{2}{\pi} \frac{f_1 f_0^2}{(f^2 - f_0^2)^2 + 4f_1^2 f^2} \quad (1.2)$$

где f – частота, измеряемая в Гц. В правую часть формулы (1.2) входит несущая частота воздействия f_0 и параметр ширины спектра f_1 (фиг. 1, с). Псевдоогибающие также заданы с точностью до двух параметров. A_x и A_y характеризуют уровень максимальных ускорений. Как правило, пиковые значения ускорений превышают A_x и A_y , но имеют тот же порядок. Параметр t_0 , который принят одинаковым в обоих направлениях, характеризует продолжительность интенсивной фазы воздействия. При этом максимумы псевдоогибающих достигаются при $t = t_0$ (фиг. 1, в).

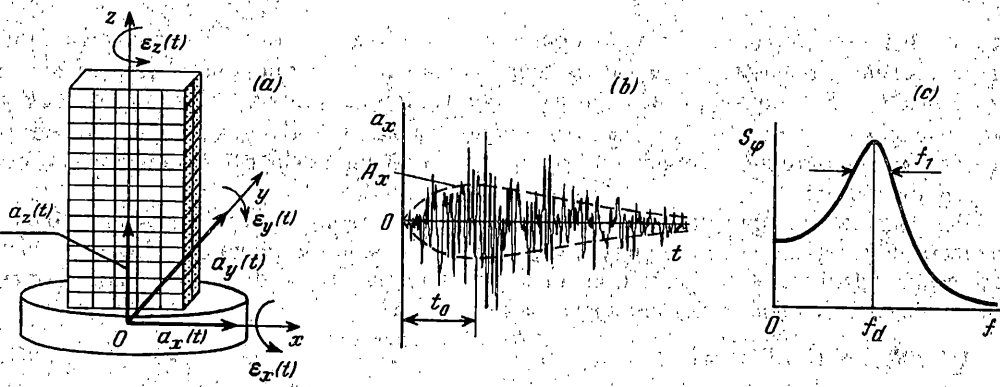
Соотношение между псевдоамплитудами A_x и A_y зависит от того, как ориентировано направление распространения сейсмических волн по отношению к осям сооружения, т.е. от ориентации последних по отношению к предполагаемому фокусу землетрясения. Несмотря на большой объем сейсмологической информации, которая в настоящее время включает в себя альбомы акселерограмм, до сих пор нет надежных данных о связи между компонентами движения на площадке. Так, сопоставление известных акселерограмм, записанных в Эль Сентро (1940), Бухаресте (1970) и Мехико (1985), не дает достаточных оснований, чтобы принять или опровергнуть гипотезу о существенной корреляции между составляющими Север – Юг и Восток – Запад. Полагая, что компоненты $a_x(t)$ и $a_y(t)$ являются проекциями ускорения $a_0(t)$, направленным под углом θ к оси Ox , получим

$$a_x(t) = a_0(t) \cos \theta, \quad a_y(t) = a_0(t) \sin \theta \quad (1.3)$$

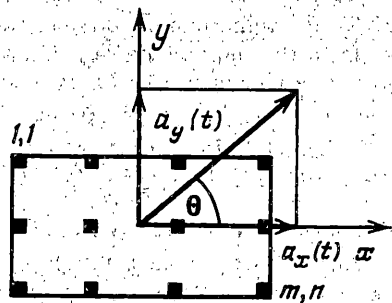
Формулы (1.3) соответствуют полной корреляции процессов $a_x(t)$ и $a_y(t)$. В более общем случае имеет смысл возвратиться к представлениям типа (1.1), принимая, что $A_x = A_0 \cos \theta$, $A_y = A_0 \sin \theta$ и беря в качестве $\Phi_x(t)$ и $\Phi_y(t)$ две разные реализации одного и того же процесса.

Нормы антисейсмического проектирования многих стран рекомендуют избегать конструкций, не обладающих симметрией в плане. Наличие асимметрии приводит к тому, что несущая конструкция испытывает изгибо-крутильные колебания. В свою очередь, это приводит к дополнительным перегрузкам колонн и повышает риск критических повреждений. Даже здания, симметричные в архитектурном отношении, могут оказаться несимметричными из-за несовмещения центральных осей жесткости и инерции здания или рассогласования центров жесткости и массы в отдельных этажах. В данной статье рассматривается случай, когда несущая конструкция здания обладает симметрией механических свойств, но центры инерции этажей смешены относительно главных осей жесткости. Исследуется влияние кручения здания на его динамическое поведение и уровень остаточных деформаций.

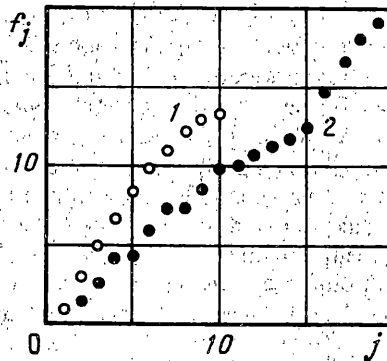
2. Рассмотрим несущую конструкцию N -этажного здания. Пусть Oxz и Oyz – плоскости жесткостной симметрии каркаса. Следуя обычной сдвиговой модели [4], представим конструкцию здания в виде системы N жестких дисков массой M_1, M_2, \dots, M_N и междуэтажных блоков. Будем считать, что жесткость блоков по отношению к междуэтажному сдвигу определяется сопротивлением колонн и примыкающих ограждающих конструкций. Число колонн на этаже обозначим $m \times n$, где m – число рядов стоек по направлению оси Ox , а n – число рядов стоек по направлению оси Oy . Ось жесткости k -го междуэтажного блока ($k = 1, 2, \dots, N$) в общем случае не проходит через центр инерции массы M_k . Вследствие этого даже при отсутствии угловых воздействий на фундамент здание будет испытывать изгибо-крутильные колебания.



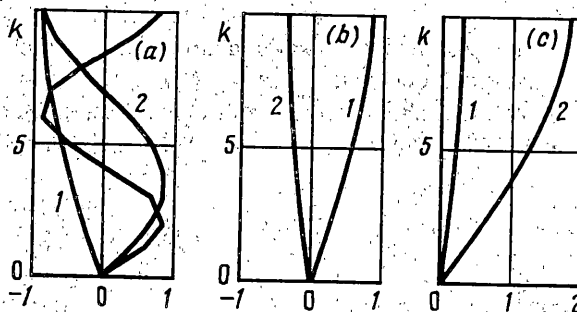
Фиг. 1



Фиг. 2



Фиг. 3



Фиг. 4

Будем характеризовать деформацию здания углами междуэтажного сдвига $\gamma_{1,x}, \gamma_{2,x}, \dots, \gamma_{N,x}$ и $\gamma_{1,y}, \gamma_{2,y}, \dots, \gamma_{N,y}$, а сопротивление междуэтажных блоков – силами сдвига $Q_{1,x}, Q_{2,x}, \dots, Q_{N,x}$ и $Q_{1,y}, Q_{2,y}, \dots, Q_{N,y}$ и моментами $L_{1,z}, L_{2,z}, \dots, L_{N,z}$. Аналогичные углы и силы сдвига введем и для каждой стойки междуэтажного каркаса: $\gamma_{ijk,x}, \gamma_{ijk,y}, Q_{ijk,x}, Q_{ijk,y}$, где $i = 1, 2, \dots, m$, $j = 1, 2, \dots, n$, $k = 1, 2, \dots, N$. Углы сдвига стоек $\gamma_{ijk,x}, \gamma_{ijk,y}$ равны соответствующим значениям междуэтажных углов сдвига $\gamma_{k,x}, \gamma_{k,y}$ лишь при отсутствии вращения, а

$$Q_{k,x} = \sum_{i=1}^m \sum_{j=1}^n Q_{ijk,x}, \quad Q_{k,y} = \sum_{i=1}^m \sum_{j=1}^n Q_{ijk,y}, \quad L_{k,z} = \sum_{i=1}^m \sum_{j=1}^n (-Q_{ijk,x} x_{ijk} + Q_{ijk,y} y_{ijk}) \quad (2.1)$$

где x_{ijk} и y_{ijk} – координаты точек крепления стоек k -го этажа к междуэтажному перекрытию. Кручение стоек как элементов каркаса не включено в междуэтажные моменты $L_{k,z}$. Если размеры здания в плане велики по сравнению с высотой стоек, то углы закручивания стоек будут относительно невелики. К тому же жесткость металлических тонкостенных профилей при кручении обычно существенно ниже их жесткости при изгибе.

При интенсивных сейсмических воздействиях стойки междуэтажных блоков подвергаются циклическому упругопластическому деформированию. Для материала стоек, находящихся в состоянии косого изгиба, примем идеальную упругопластическую модель. Условие пластичности возьмем в виде

$$(Q_x / R_x)^2 + (Q_y / R_y)^2 = 1 \quad (2.2)$$

где Q_x и Q_y – силы, возникающие в стойке, R_x и R_y – их значения, соответствующие пределу текучести (индексы, указывающие на номер этажа и стойки, временно опущены). В упругой стадии $Q_x = c_x \gamma_x$, $Q_y = c_y \gamma_y$, причем в общем случае коэффициенты жесткости стоек в направлениях Ox и Oy различны, т.е. $c_x \neq c_y$. Продольные силы в стойках не включены в условие пластичности (2.2). Влияние вертикальных составляющих от веса и сил инерции существенна в расчетах зданий на устойчивость. Общую устойчивость обычно учитывают по схеме так называемого $P - \Delta$ эффекта [5] и этот подход будет применен ниже. Более тщательный учет требует либо перехода к детализированной модели несущей конструкции, либо применение более общих законов деформирования для междуэтажных блоков, в частности, включающих разупрочнение.

При принятых допущениях о работе стоек жесткость на кручение k -го междуэтажного блока $c_{k,\psi}$ будет определяться формулой (h_k – высота k -го этажа здания):

$$c_{k,\psi} = \frac{1}{h_k} \sum_{i=1}^m \sum_{j=1}^n (c_{ijk,x} y_{ijk}^2 + c_{ijk,y} x_{ijk}^2) \quad (2.3)$$

Обозначим через u_1, u_2, \dots, u_N перемещения этажей в направлении оси Ox , через v_1, v_2, \dots, v_N перемещения в направлении оси Oy , через $\psi_1, \psi_2, \dots, \psi_N$ углы поворота этажей. В случае малых углов поворота этажей для кинетической энергии системы и диссипативной функции имеем выражения (штрихом обозначено дифференцирование по времени t):

$$\begin{aligned} T &= \frac{1}{2} \sum_{k=1}^N M_k [(u'_k)^2 + (v'_k)^2 + (x_{0,k}^2 + y_{0,k}^2)(\psi'_k)^2 - 2y_{0,k}u'_k\psi'_k + 2x_{0,k}v'_k\psi'_k] + \frac{1}{2} \sum_{k=1}^N J_k (\psi'_k)^2 \\ D &= \frac{1}{2} \sum_{k=1}^N [b_{k,x}(u'_k - u'_{k-1})^2 + b_{k+1,x}(u'_{k+1} - u'_k)^2] + \\ &+ \frac{1}{2} \sum_{k=1}^N [b_{k,y}(v'_k - v'_{k-1})^2 + b_{k+1,y}(v'_{k+1} - v'_k)^2] + \\ &+ \frac{1}{2} \sum_{k=1}^N [b_{k,z}(\psi'_k - \psi'_{k-1})^2 + b_{k+1,z}(\psi'_{k+1} - \psi'_k)^2]. \end{aligned} \quad (2.4)$$

Здесь $x_{0,k}, y_{0,k}$ – координаты центра инерции массы M_k в системе координат, связанной с центром жесткости; J_k – момент инерции массы M_k относительно центральной оси; $b_{k,x}, b_{k,y}$ и $b_{k,z}$ – коэффициенты демпфирования, соответствующие междуэтажным сдвигам по осям Ox , Oy и поворотам относительно оси Oz , причем $b_{0,x} = b_{0,y} = b_{0,z} = 0$, $b_{N+1,x} = b_{N+1,y} = b_{N+1,z} = 0$. Выражение для диссипативной функции составлено в предположении, что линейная составляющая демпфирования обусловлена междуэтажными деформациями, т.е. диссипация носит внутренний характер. Виртуальная

работа сил междуэтажного сдвига и поворота определяется как

$$\delta W = \sum_{k=1}^N (Q_{k+1,x} - Q_{k,x} - M_k a_x) \delta u_k + \sum_{k=1}^N (Q_{k+1,y} - Q_{k,y} - M_k a_y) \delta v_k + \\ + \sum_{k=1}^N (L_{k+1,z} - L_{k,z}) \delta \psi_k, \quad Q_{N+1,x} = Q_{N+1,y} = L_{N+1,z} = 0 \quad (2.5)$$

При значительных междуэтажных перемещениях необходимо учитывать влияние собственного веса расположенной выше части здания на деформативность междуэтажных блоков. Это влияние, называемое в расчетах на сейсмостойкость $P - \Delta$ эффектом, аналогично продольно-поперечному изгибу сжатых стержней. Для упрощения примем, что по высоте блока угол сдвига не изменяется, т.е. деформация стоек в основном сосредоточена вблизи узлов. Такое предположение приемлемо, если пластические компоненты кривизны в несколько раз превышают упругие компоненты. Считая, что вес здания равномерно распределяется по стойкам, потенциальную энергию сил тяготения запишем следующим образом (g – ускорение свободного падения):

$$U = \text{const} - \frac{1}{2} \sum_{i=1}^m \sum_{j=1}^n \sum_{k=1}^N \sum_{l=k}^N \frac{M_l g}{mn h_k} \{ [u_k - u_{k-1} - (\psi_k - \psi_{k-1}) y_{ijk}]^2 + \\ + [v_k - v_{k-1} + (\psi_k - \psi_{k-1}) x_{ijk}]^2 \} \quad (2.6)$$

С учетом (2.4)–(2.6) приходим к уравнениям движения здания при сейсмическом воздействии

$$M_k u''_k - M_k y_{0,k} \psi''_k + b_{k,x} (u'_k - u'_{k-1}) - b_{k+1,x} (u'_{k+1} - u'_k) + Q_{k,x} - Q_{k+1,x} - \\ - \sum_{i=1}^m \sum_{j=1}^n (P_{ijk,x} - P_{ij,k+1,x}) = -M_k a_x(t) \quad (2.7) \\ M_k v''_k + M_k x_{0,k} \psi''_k + b_{k,y} (v'_k - v'_{k-1}) - b_{k+1,y} (v'_{k+1} - v'_k) + Q_{k,y} - Q_{k+1,y} - \\ - \sum_{i=1}^m \sum_{j=1}^n (P_{ijk,y} - P_{ij,k+1,y}) = -M_k a_y(t) \\ J_{k,z} \psi''_k - M_k y_{0,k} u''_k + M_k x_{0,k} v''_k + b_{k,z} (\psi'_k - \psi'_{k-1}) - b_{k+1,z} (\psi'_{k+1} - \psi'_k) + L_{k,z} - L_{k+1,z} - \\ - \sum_{i=1}^m \sum_{j=1}^n (P_{ijk,x} y_{ijk} - P_{ij,k+1,x} y_{ijk+1} - P_{ijk,y} x_{ijk} + P_{ij,k+1,y} x_{ijk+1}) = 0 \\ (k = 1, 2, \dots, N; u''_0(t) \equiv a_x(t), v''_0(t) \equiv a_y(t))$$

$$P_{ijk,x} = \sum_{l=k}^N \frac{M_l g}{mn h_k} [u_k - u_{k-1} - (\psi_k - \psi_{k-1}) y_{ijk}] \quad (2.8) \\ P_{ijk,y} = \sum_{l=k}^N \frac{M_l g}{mn h_k} [v_k - v_{k-1} + (\psi_k - \psi_{k-1}) x_{ijk}], \quad J_{k,z} = J_k + M_k (x_{0,k}^2 + y_{0,k}^2)$$

3. Интегрирование нелинейных уравнений (2.7) проводилось при нулевых начальных условиях с правыми частями, задаваемыми в форме (1.3). Рассматривалась регулярная расчетная схема здания, имеющая две плоскости жесткостной симметрии (фиг. 2). Число этажей принято равным $N = 10$. Этажи имеют прямоугольную в плане форму с размерами $a \times b$, $a = 24$ м, $b = 12$ м. Приведенные массы и моменты инерции всех этажей брались одинаковыми и равными $M_k = 10^5$ кг, $J_k = 6 \cdot 10^6$ кгм². Центры инерции лежат на одной прямой, смещенной от оси жесткости Oz в направлении оси Ox , т.е. $x_{0,1} = x_{0,2} = \dots = x_{0,10} = 4$ м, $y_{0,1} = y_{0,2} = \dots = y_{0,10} = 0$. Высота стоек междуэтажных

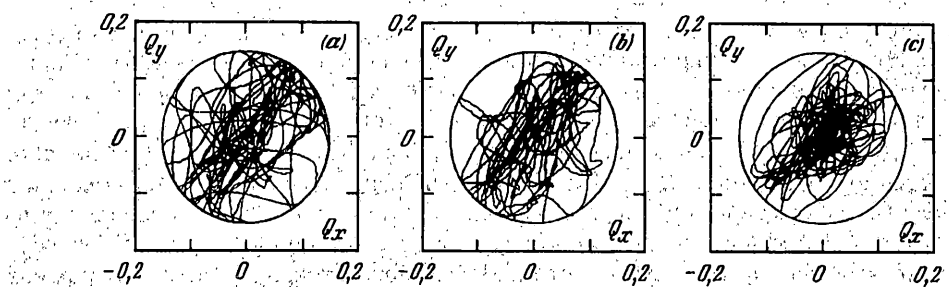
блоков равна $h_k = 3$ м. Число стоек на каждом этаже $m \times n = 4 \times 3 = 12$. При упругом деформировании по отношению к междуэтажным сдвигам стойки имеют одинаковые жесткости в направлениях осей Ox и Oy , т.е. $c_{ijk,x} = c_{ijk,y} = 45$ МН ($i = 1, 2, \dots, m; j = 1, 2, \dots, n; k = 1, 2, \dots, N$). Предельные значения для упругих углов междуэтажных сдвигов стоек примем $\gamma_{ijk,x}^* = \gamma_{ijk,y}^* = 3,33 \cdot 10^{-3}$, что соответствует предельным упругим смещениям концов стоек, равным 0,01 м. Таким образом, значения поперечных сил в стойках, соответствующие пределу текучести, в формуле (2.2) приняты равными $R_x = R_y = 0,15$ МН.

Некоторые динамические характеристики рассматриваемой системы для случая малых собственных колебаний представлены на фиг. 3 и 4. Так как система имеет общую плоскость жесткостной и инерционной симметрии xOz , то спектр собственных частот распадается на две группы: Группа 1 (фиг. 3) состоит из 10 частот и соответствует сдвиговым движениям системы в плоскости xOz . Группа собственных частот 2 соответствует сдвигово-крутильным колебаниям здания и состоит из 20 частот. Низшие частоты в указанных группах равны 1,00 и 0,89 Гц соответственно. Первые 10 частот второй группы оказываются ниже, чем соответствующие частоты первой группы. Это естественно ожидать, поскольку динамическая жесткость несущей конструкции в направлении оси Oy минимальна. В наиболее опасную частотную область до 5 Гц попадают первые три собственные частоты из первой группы и первые пять собственных частот из второй группы.

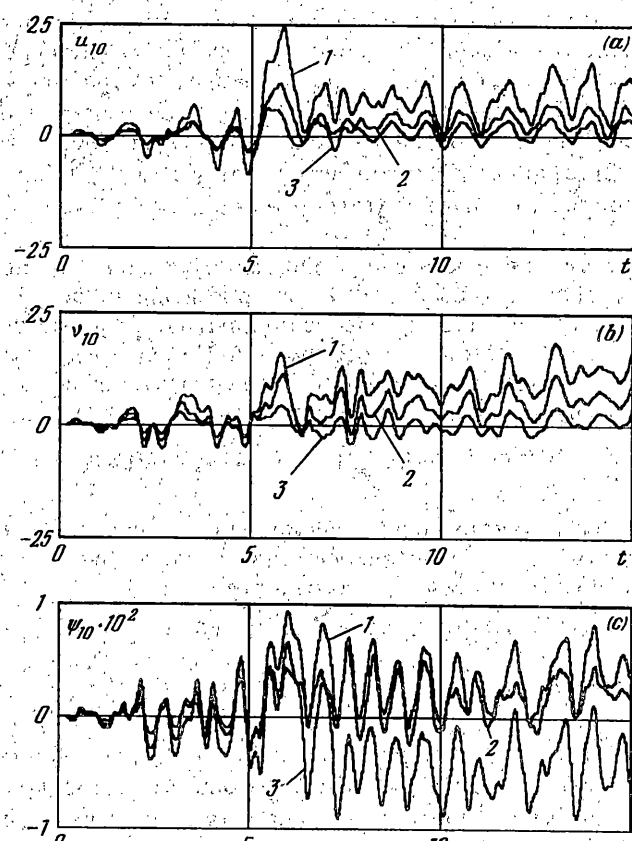
На фиг. 4, а, где по оси ординат отложен номер этажа, представлены первые три собственные формы сдвиговых колебаний в плоскости xOz , а на фиг. 4, б – 4, д изображены первые три собственных формы сдвигово-крутильных колебаний. При этом проведен переход от перемещений v_k точек на оси жесткости и углов поворота этажей ψ_k к линейным перемещениям углов задания $u_{k,\alpha} = -y_\alpha \psi_k$, $v_{k,\alpha} = v_k + x_\alpha \psi_k$ ($\alpha = 1, 2, 3, 4$). Здесь x_α и y_α – координаты угловых точек здания. Фиг. 4, б – д построены для колонны 1,1 (фиг. 2). Кривые 1 соответствуют перемещениям $u_{k,1}$, кривые 2 – перемещениям $v_{k,1}$. Все формы колебаний на фиг. 4 условно нормировались так, чтобы абсциссы умелись в интервале $[-1, 1]$ или $[0, 2]$. Для других угловых точек здания вид собственных форм может изменяться. В частности, перемещения $u_{k,\alpha}$ и $v_{k,\alpha}$ могут оказаться как в одной, так и в противоположных фазах. При сдвигово-крутильных колебаниях первый узел появляется только в третьей собственной форме.

4. Моделирование сейсмического воздействия в виде искусственных акселерограмм проводилось согласно методу, предложенному в [1]. Для спектральных характеристик в формуле (1.2) приняты следующие значения: несущая частота воздействия $f_0 = 3$ Гц, параметр ширины спектра $f_1 = 1$ Гц. При этом доминантная частота $f_d = (f_0^2 - f_1^2)^{1/2} = 2,83$ Гц (фиг. 1, с). Параметры псевдоогибающей приняты следующими: интенсивность ускорений $A_0 = 4 \text{ мс}^{-2}$, $t_0 = 5$ с. Указанные параметры соответствуют движению скального грунта при девятибалльном землетрясении. Реализации случайногого сейсмического воздействия, соответствующие различным реализациям случайной функции $\phi(t)$, внешние сходны между собой, однако пиковые ускорения имеют существенный разброс. Типичные значения этих ускорений при многократном моделировании лежат между 3 и 5 мс^{-2} . Вычисления проводились для случая, когда пиковое ускорение равнялось 4,8 мс^{-2} .

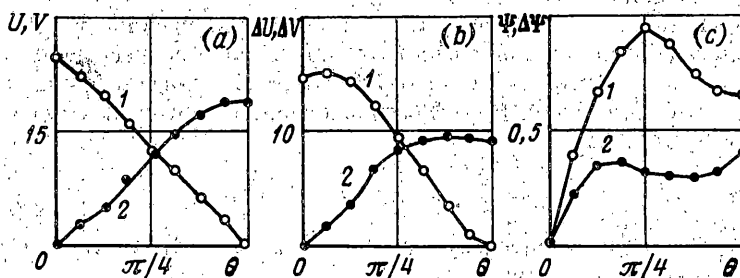
Строго говоря, дальнейший анализ необходимо проводить в рамках вероятностно-статистической модели с оценкой сейсмического риска [1,2]. Методология оценки риска на основе метода Монте Карло была предложена в [6] и развита в [7]. Цель данной работы состоит в том, чтобы учесть вклад кручения несущей конструкции в динамическую реакцию и остаточные повреждения. Реализации ускорения на основании рассматриваются здесь, как это делается в большинстве работ по сейсмостойкости [4,5], как заданные воздействия, т.е. статистические аспекты не рассматриваются.



Фиг. 5



Фиг. 6



Фиг. 7

Поведение несущей конструкции при землетрясениях носит весьма сложный характер. Это проиллюстрировано на фиг. 5, построенной для направления сейсмического воздействия под углом $\theta = \pi/4$ к осям жесткости. На графиках показано, как изменяются во времени поперечные силы Q_x и Q_y в стойках 1,1 первого (a), третьего (b) и седьмого (c) этажей. Поперечные силы выражены в МН. Упругая область ограничена круговой линией. Стойки первого этажа испытывают существенные пластические деформации, причем деформации возникают во всех направлениях на плоскости Oxy . Пластические деформации менее существенны для стоек третьего этажа и практически отсутствуют в стойках седьмого этажа. На всех диаграммах можно заметить преимущественное направление деформаций; оно близко к направлению полного ускорения на основании.

На фиг. 6 для различных значений угла θ приведены зависимости во времени перемещений верхнего этажа здания. Здесь и далее линейные перемещения выражены в см, а угловые в радианах. Графики 1–3 перемещений $u_{10}(t)$ (фиг. 6, a) построены для значений угла $\theta = 0$, $\theta = \pi/4$ и $\theta = 3\pi/8$ соответственно. Аналогичные зависимости для перемещения верхнего этажа $v_{10}(t)$ в направлении оси Oy представлены на фиг. 6, b, где кривые 1–3 соответствуют углам $\theta = \pi/2$, $\theta = \pi/4$ и $\theta = \pi/8$. Кривые 1–3 на фиг. 6, c показывают углы поворота десятого этажа $\psi_{10}(t)$ при $\theta = \pi/4$, $\theta = \pi/8$ и $\theta = \pi/2$.

Результаты более детального исследования влияния направления сейсмического воздействия на динамическую реакцию здания приведены на фиг. 7. Здесь в зависимости от угла θ построены некоторые величины, которые часто принимают в качестве показателей сейсмостойкости сооружений. Например, динамическая реакция здания на сейсмическое воздействие может быть охарактеризована максимальными по модулю линейными и угловыми перемещениями этажей относительно основания

$$U = \max_t \max_k |u_k(t)|, \quad V = \max_t \max_k |v_k(t)|, \quad \psi = \max_t \max_k |\psi_k(t)|$$

Несущая способность конструкции здания может быть оценена по величине междуэтажных сдвигов, которые в свою очередь зависят от таких величин, как максимальные линейные и угловые смещения соседних этажей

$$\Delta U = \max_t \max_k |u_{k+1}(t) - u_k(t)|, \quad \Delta V = \max_t \max_k |v_{k+1}(t) - v_k(t)|$$

$$\Delta \psi = \max_t \max_k |\psi_{k+1}(t) - \psi_k(t)|$$

С ростом угла θ максимальные перемещения U в направлении оси Ox и междуэтажные сдвиги ΔU в этом же направлении монотонно убывают (кривые 1 на фиг. 7, a, b), а в направлении оси Oy соответствующие характеристики V и ΔV монотонно растут (кривые 2 на фиг. 7, a, b). На фиг. 7, c кривая 1 иллюстрирует зависимость $\psi(\theta)$, а кривая 2 – зависимость $\Delta\psi(\theta)$. Значения абсолютных ψ и относительных $\Delta\psi$ углов поворота здесь представлены в рад · 10².

Проведенный анализ показывает, что реакция несущей конструкции на сейсмические воздействия существенно зависит от направления воздействия; этот эффект может усиливаться, если ось жесткости конструкции не совпадает с осью инерции.

Работа выполнена при поддержке Российского фонда фундаментальных исследований (проект 99-01-00252).

СПИСОК ЛИТЕРАТУРЫ

- Болотин В.В. Статистическая теория сейсмостойкости сооружений // Изв. АН СССР. ОТН. Механика и машиностроение. 1959. № 4. С. 123–129.
- Болотин В.В. Статистические методы в строительной механике. М.: Стройиздат. 1965. 279 с.

3. Болотин В.В. Случайные колебания упругих систем. М.: Наука, 1979. 335 с.
4. Newmark N.M., Rosenblueth E.F. Fundamentals of Earthquake Engineering. New York: Prentice Hall. 1971. 640 p.
5. Tiondro J.A., Moss P.J., Carr A.J. Seismic $P - \Delta$ effects in medium height moment resisting steel frames // Eng. Struct. 1992. V. 14. № 2. P. 75–90.
6. Bolotin V.V. Seismic risk assessment for structures with the Monte Carlo simulation // Probab. Eng. Mech. 1993. V. 8. № 3/4. P. 169–177.
7. Болотин В.В., Радин В.П., Чирков В.П. Применение метода статистического моделирования для оценки сейсмического риска конструкций // Изв. РАН. МГТ. 1997. № 6. С. 168–175.

Москва

Поступила в редакцию
2.04.1999